

Nf-As, SB, Bi

VIII 2705

1962

La AsO₄, Pr AsO₄, Nd AsO₄, Gd AsO₄, Yb AsO₄, (P_P)

Заселес Г.И., Кацаевъ С.П.,
Серебренниковъ В.В.;

Тр. Томского ун-та, 1962, 154, 110-114

8

РНКХ, 1963, 126445

less opus.

VII 3379 1963

GdVO₄, PrAsO₄, Nd AsO₄, HoVO₄ (T_b)

Strelcova V.S., Roy R.,

Z. Kristallogr., 1963, 119, 90-97

T

VIII

Lix₄ Sb₃ a, b, c
Lix₄ Bi₃

1967

o

Cambino R.J.,
J. Less-Common Metals,
12, n5, 344 (1967).

(S)

clue

Plexus, 45404 (1968)

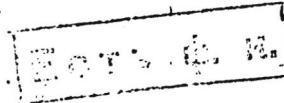
ScAs, YAs, LaAs, CeAs, PrAs, NdAs, SmAs, 1967
GdAs, TbAs, DyAs, HoAs, ErAs, TmAs, YbAs,
LuAs (OHf) As (OHf) 8 VIII 95

Hanks R., Faraday M.M.

Trans. Faraday Soc., 1967, 63, NS, 1130-1135 (with)
Quantitative application of dynamic differential
calorimetry. Part 2. Heats of formation of
the group 3A arsenides

PIH Xmas. 1968

165804



M. (P)

18

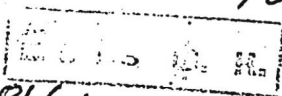
VIII 751

1968

NC-M, Bi-M, zge M = Ce, Pr, Nd, La
(CP, C/7)

Royagi M.

Dissert. Abstz., 1968, B28 (10),
4082.



Cd, 1968, 69, u8, 308164

5

да №6; №186 (Ти)

VIII 283
1968

Чонгарова Е.В., Чукова Т.Б., Но -
нанича З.И., Изд АН СССР,
Киев. Матер. 1968, №(1), 44-48
Некоторые спиральные св-ва
алгебраических изоморфов

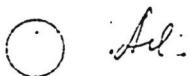
б. ⑨

Сентябрь 1968, бз

Nd₃Pi, Nd₄Pi₃, Nd₅Pi, Nd₆Pi₂ 8 Ти. 1970
Коэзенса Г. А. Морозопреко В. В., № 4914

Денобоги №. УПСР", 1970, А, №,
945-948 (усп; физ. акул).

"Диаграмма сечения зерна
металла - магнит."



Ad.

Р.И., 1971, 2419

8

VII 5032 1971

Nd₃Bi, NdBi₂

Tm, крист. сп-ре

Краснодар Г.Р., Черноморск Б.С.,
 Электроприбор Б.Н.

Уч. зн СССР. Несколько. мастика, 1971, № 8,
 1438-1440

"Диаграмма состояния и частичка
 смесей систем Nd-Bi"

PM, 1971, 11217



141

7

1971
CeBi, NdBi, TbBi, DyBi (Neel) 8

Neresson N.G., Arnold G.P., V^{III} 4467

J. Appl. Phys., 1971, 42, N° 4, 1625-7
(caract.)

Magnetic properties of CeBi, NdBi,
TbBi, and DyBi.

An (P)

9

CA, 1971, 74, N° 4, 132320s

Nd_xSb_y ВФ-5343-VIII 1972.

8 Б866. Диаграмма состояний и некоторые свойства сплавов системы неодим—сурьма. Кобзенко Г. Ф., Черногоренко В. Б., Мартынчук Э. Л., Лынчак К. А., Сколоздра Р. В. «Металлофизика. Респ. межвед. сб.», 1972, вып. 41, 87—93

(T_m) Методами термич. металлографич. и рентгеноструктурного анализов и микротвердости изучена диаграмма состояния системы неодим—сурьма. Установлено существование четырех антимонидов: Nd₅Sb₃, Nd₄Sb₃, NdSb и NdSb₂. Наиболее тугоплавким соединением, конгруэнтио плавящимся при 2075°, является NdSb. Установлена корреляция между диаграммой состояния и кривой время «полного р-рения навески сплавов — состав». Наименее устойчивым к коррозии является антимонид NdSb. Разработан метод хим. анализа сплавов системы. Сурьма определяется Тт перманганатом калия, а неодим — трилоном Б.

Резюме

Х. 1973. № 8.

6A

Dy Sb; Nd Sb; Ce Sb (T Neel) 8 ~ 19.12

Nereson N., Stuebing V., VIII 5582

AIP (Amer. Inst. Phys.) Conf. Proc.,

1972, N5 (Pt. 2), 1385-9 (amu.)

5⑨

Neutron diffraction studies

on dysprosium antimonide,

neodimium antimonide

and cerium antimonide.

7 CA, 1972, 74, N2, 112732

Nd₅86₃, Nd₄88₃, ~~Nd~~ Nd₈₆, Nd₈₈₂ (T_m)
1972
VIII 5278

Ходзенко Г.Ф., Черногоренко В.Б.,
Мартынчук Э.С., Иоганак К.А., Скалоух
Р.В., Чуб. АИ СССР. Мегалиты, 1972,
№ 3, 224-227.

Диаграмма состояния системы

Nd - Sb.

85④

ГМ, 1972, 9417

Nd 803₃

Bp-5626-VII

1973

Анзасова А. Е.

Серебренников В. В.

(Tm)

Ил. Несправ. зеркаль
1973, 18, 2292 - 94

арсеналы РЗЭ (Тн) А-2103 1973

Лиханова Н.Е., Серебренников В.В.

ДИ. Иордан. химии, 1973, 18, №, 1706-1708

Хирургическая установка

арсеналов редкоземельных
элементов.

РИИИИИ, 1973

195657

11+~~15~~ 25

5 (9)

СКИДКА
10%

CEP; CeAs; NdP; NdAs; 1973
ZaP; ZaAs; ZnS; ZnAs (cp) VIII 5827
Aebi A., Hulliger F., Natterer B.,

Solid State Commun., 1973, 13,

8 N9, 1365-8 (areu.)

Specific heat and Schottky anomalies of cerium phosphide, cerium arsenide, neodymium phosphide, and neodymium arsenide. B CA, 1974, 80, N8, 416577

NdN, NdP, NdAs, NdSb (T_c) 1973

Schoßinger - Papamantellis P., VII 5480

Fischer P., Vogl O., Kaldus E.

J. Phys. C: Solid State Phys., 1973, 6,
N4, 725-732 (a.m.)

Magnetic ordering of neodymium
monopnictides determined by neutron
diffraction.

PIKASU, 1973

166453

5 CP

8

Nd_3Bi
 Nd_5Bi_3
 Nd_xBi_y

(ΔH_f)

XVIII - 30

1974.

17 Б976. Термодинамика сплавов неодим-висмут. Borsese A., Capelli R., Delfino S., Ferro R. The heat of formation of neodymium-bismuth alloys. «Thermochim. acta», 1974, 8, № 4, 393—397 (англ.)

В изопериболическом калориметре прямым методом определены теплоты образования сплавов Nd—Bi. Термодинамика сплавов неодима с висмутом при 300° , соотв., равны $Nd_3Bi = 15,0 \pm 0,7$, $Nd_5Bi_3 = 22,2 \pm 0,7$, $Nd_4Bi_3 = 25,0 \pm 0,5$, $NdBi = 26,6 \pm 0,5$ и $NdBi_2 = 21,0 \pm 0,5$ ккал/г-ат. Отмечено, что значения теплот образования указанных соединений возрастают с ростом их температур плавления. Полученные значения теплот образования значительно выше, чем в типичных металлических системах, что по-видимому, объясняется преобладанием в соединениях связей, отличных от металлической. Сплавы также исследованы хим. металлографич. и рентгенофазовым методами.

С. А. Ивашин

X. 1974 N17

Nd₃Bi; Nd₅Bi₃, XVIII-30 1974
Nd₄Bi₃, NdBi, NdBi₂

30472y Heat of formation of neodymium-bismuth alloys.
Borsese, A.; Capelli, R.; Delfino, S.; Ferro, R. (Inst. Gen. Inorg. Chem., Genoa Univ., Genoa, Italy). *Thermochimica Acta* 1974, 8(4), 393-7 (Eng). The heats of formation of Nd/Bi alloys were measured using an isoperibol direct calorimeter. For the various existing compds. the heats of formation (for the reaction among solid phases at 300° K) correspond to the following values (keal/g-atom): Nd₃Bi, -15.0 ± 0.7; Nd₅Bi₃, -22.2 ± 0.7; Nd₄Bi₃, -25.0 ± 0.5; NdBi, -26.6 ± 0.5; NdBi₂, -21.0 ± 0.5.

(ΔH_f)

c.a. 1974. 81. NY

NdAs

XVIII-490

1975

23 Б918. Диаграмма состояния и свойства сплавов системы Nd—As. Кобзенко Г. Ф., Черногоренко В. Б., Львов С. Н., Лесная М. И., Лынчак К. А. «Ж. неорган. химии», 1975, 20, № 8, 2169—2173

Построена диаграмма состояния системы Nd—As и изучены электрофиз. св-ва сплавов системы. Установ-

лено существование трех арсенидов: Nd_3As , NdAs и NdAs_2 . Последний при нагревании диссоциирует на NdAs и газообразный мышьяк. Т. пл. NdAs $2250 \pm 15^\circ$. Р-римость мышьяка в неодиме менее 1%. Во всех сплавах с содержанием мышьяка до 50% преобладает электронная проводимость.

Резюме

X 1975 № 23

Nd - As (gaz. quarf.) XVIII-490 1975

Nd-As

169049x Phase diagram and properties of neodymium-arsenic alloys. Kobzenko, G. F.; Chernogorenko, V. B.; L'vov, S. N.; Lesnaya, M. I.; Lynchak, K. A. (USSR). Zh. Neorg. Khim. 1975, 20(8), 2169-73 (Russ). The phase diagram and properties of the Nd-As system were studied by thermal anal., x-ray diffraction, metallog., and microhardness detn. Chem. etching was carried out in EtOH contg. 2% HNO₃. The system consisted of Nd₃As, NdAs, NdAs₂, α -Nd, and As. Solv. of As in Nd was < 1%. The new compd. Nd₃As was obsd. in alloys with 10-40% As. NdAs congruently m. $2220 \pm 15^\circ$, Nd₂As incongruently at 1690°, and NdAs₂ decompd. at 865° to NdAs and As. The increasing content of As in the alloys resulted in increased elec. resistance and decreased paramagnetism. In all alloys with <50% As, electron cond. predominated.

J. Hala-

(Tm)

C.A. 1975, 83 N20

NdSb 85: 115753v Magnetic excitations in neodymium antimonide. 1976

Furrer, A.; Buyers, W. J. L.; Nicklow, R. M.; Vogt, O. (Solid State Div., Oak Ridge Natl. Lab., Oak Ridge, Tenn.). *Phys. Rev. B* 1976, 14(1), 179-87 (Eng). The magnetic excitation spectrum of the antiferromagnet NdSb ($T_N = 13.6^\circ\text{K}$) was studied by neutron inelastic scattering. At 4.9°K nearly all the spin-wave strength resides in the transition to the 6th excited state which originates from the exchange split $\Gamma_6^{(2)}$ quartet ground state and $\Gamma_8^{(1)}$ quartet excited state of the Nd^{3+} . A weaker and lower-frequency transition between the ground state and the 4th excited state, the lower member of the exchange split Γ_6 doublet, was also obsd. These transitions give rise to spin-wave branches of transverse and longitudinal symmetry, resp., whose frequencies, measured in this expt. in the $(00\bar{5})$, $(\bar{5}\bar{5}0)$, and $(\bar{5}5\bar{5})$ directions, are surprisingly independent of wave vector. Measurements at higher temps. show that there is surprisingly little downward renormalization ($\sim 10\%$) of the frequency of the main branch of magnetic excitations on passing through the Neel point. The crystal-field parameters were detd. from the excitation spectra in the paramagnetic state. From the results at 4.9°K 2 bilinear exchange parameters and a large quadrupolar parameter were obtained with the aid of a pseudoboson spin-wave theory that includes all 9 excited states of the Nd^{3+} . A satisfactory description of the magnetic properties of NdSB is obtained from the model parameters.

(TN)

*2. A. 1976
25. N 16*

Nd Br *Abedusalyamova* m.n. 1977
at ae

P₂₀

Zes. Akad. Nauk SSSR
Neorg. Mater. 1977, 13 (10),
1980-1

I
(au. Labi)

1977

Nd₅Sb₃

Nd₄Sb₅

NdSb

NdSb₂

87: 190146u Heats of formation of neodymium-antimony alloys. Borsese, A.; Ferro, R.; Capelli, R.; Delfino, S. (Ist. Chim. Gen., Univ. Genova, Genoa, Italy). *J. Less-Common Met.* 1977, 55(1), 77-83 (Eng). Heats of formation in the Nd-Sb system were measured using a differential direct isoperibol calorimeter. The compn. and state of the samples were checked by chem. metallog. and x-ray anal. The following values (± 0.5 kcal (g atom) $^{-1}$) of ΔH_{form} were obtained for the various compds. (reaction in the solid state at 300 K): Nd₅Sb₃, -25.7; Nd₄Sb₃, -27.2; NdSb, -29.4; NdSb₂, -21.7. These data were compared with those previously obtained for the Nd-Bi systems and correlated, using the Miedema relationship, with the data for several bismuthides and antimonides.

(4H)

C.A. 1977, 87, 124

1978

NdAs₂

24 Б457. Диарсенид неодима: уточнение структуры на монокристалле. Wang Yu, Heyding R. D., Gabe E. J., Calvert L. D., Taylor J. B. Neodymium diarsenide: a single-crystal structure refinement. «Acta crystallogr.», 1978, V34, № 6, 1959—1961 (англ.)

Рентгенографически (дифрактометр, λ Mo, МНК) исследована структура монокрист. NdAs_2 (**I**), полученного из поликрист. **I** в атмосфере J_2 и As при 600° . Параметры монокл. решетки **I**: $a = 4,1081$, $b = 6,8201$, $c = 10,4431$ Å, $\beta = 106,718^\circ$, $Z = 4$, ρ (выч.) 6,97, ф. гр. $P2_1/c$. Для двух кристаллитов **I**, размером $0,02 \times 0,03 \times 0,1$ и $0,04 \times 0,06 \times 0,2$ мм, получено соотв. 1022 и 2044 отражения. Определение структуры проведено по данным для большего кристалла, а интенсивности рассеяния меньшим использованы для проверки. Позиц. параметры, определенные на обоих кристаллах, хорошо согласуются между собой, а тепловые параметры заметно различаются. Результирующее значение $R = 0,054$ для большего кристалла.

ист.

—

x. 1978, N 24

0,111 для меньшего кристалла. И также как PrAs_2 , CeAs_2 и низкотривальный LaAs_2 относится к новому структурному типу. Атомы Nd в решетке I располагаются в виде гексагональных сеток, образующих каналы, в которых расположены почти плоские зигзагообразные цепочки из четырех атомов As. Расстояния As—As в них равны 2,477 и 2,497 Å для крайних и средн. атомов соотв., углы AsAsAs 104,3°. Расстояния As—As почти такие же как в металлическ. As (2,516 Å). Коорд. ч. для конечных атомов Nd равна 16 (5 ближайших $\text{Nd}+2$ ближайших $\text{As}+9$ след. соседей), для средн. атомов — 12 (4 ближайших $\text{Nd}+4$ ближайших $\text{As}+4$ след. соседа). Средн. расстояние Nd—As составляет 3,18 Å, что сравнимо с ожидаемым для коорд. ч. 12 (3,21 Å). Средн. расстояние Nd—Nd 4,09 Å, т. е. взаимодействие Nd—Nd слабое. Ф-лу I можно записать как $\text{Nd}_2^{6+}\text{As}_4^{6+}$ и отнести соединение согласно правилу Пирсона к возможным полупроводникам. Исходя из значения различия электроотрицательности 0,8 и средн. значения главного квантового числа 4,7 I можно считать "находящимся вблизи границы перехода металл — полупроводник".

С. Ш. Шильштейн

Nd-Sb-Se

1979

91: 146587x Phase diagram of the system A(I)-B(V)-C(VI).
II. Ternary system sodium-tin-selenium. Salov, A. V.;
Lazarev, V. B.; Shaplygin, I. S. (N. S. Kurnakov Inst. Gen.
Inorg. Chem., 117071 Moscow, USSR). *Thermochim. Acta* 1979,
32(1-2), 57-62 (Eng). The ternary system Na-Sb-Se was
studied by DTA and x-ray diffraction methods. The liquidus of
the system was constructed. The largest primary crystn. field
belongs to the NaSbSe_2 compd. There is a large immiscibility
region with boundaries at ~44 - 82at. % of Sb. X-ray data for
2 forms of NaSbSe_2 are also given.

payob.
gray

C.A. 1979, G/N/18

Nd86

1979

Буксиров т.ч. и ог.

Ж. ген. химии, 1949, 53, №2,
517-518.

Гр

(вид. лист; $\frac{1}{5}$)

Bi₂Se₃-Nd₂Se₃

1980

V92: 170125m Study of the phase diagram of the bismuth selenide-neodymium selenide (Bi_2Se_3 - Nd_2Se_3) system. Alieva, Z. G.; Aliev, A. F.; Eibatova, Sh. E.; Alieva, R. A. (USSR). *Nauch. Tr. Azerb. Un-t. Ser. Khim. N.* 1979, (2), 5-9 (Russ). From *Ref. Zh., Khim.* 1980, Abstr. No. 2B915. Title only translated.

qaz.

guarj.

CA 1980 92 n20

NdSB

1980

Буксар Т. И., упр.

Тюмень. институт, 1980, № 12, 56-59.

д Мусеев.
д Гл

● (See LaSB) I

NdAsO₄ 1980

Ismailzade S.H. et al

T_{tr}

Ferroelectrics, 1980, 23,
N+2, 35-38



Cite Pz AsO₄ i^T

Ndots Lorraine 10604 | 1980

Mulorcozi A. et.

(14) J. Less-Common Metals
1980, 75, 125-132

big 5



NiBi

Ni₅Bi₃

Ni₃Bi₅

(4Hf)

Lommel 10604 | 1980

Murlozov A. N.

f. less common metals

1980, 45, 125-132.

Ndots

Leid wierck 12472 1981

Руководство Б.Г. и др.

(г)

Сообщ. АН Груз. ССР,
1981, 103 (1), 129-131.

Монсантиномозаика Nd

1982

No 1-56 Виктория Т.И., Торгашевского Р.Д.
9 Всес. конгр. по квирискусу
и худ. переводчика, Тбилиси,
14-16 сеня., 1982. Речи и переговоры.
ЗОКУ. Тбилиси, 1982, 361.

(авт. Монсантиномозаика;

NdAs(K) [Om. 19583] 1983

Рыжеватаге. Б.Т., Узараси -
Сергиев Д.И. в гп.

ДГ;

1136. Акаг. Наук ТрУзССР ССР,
1983, 9, №, 48 -

Nd₅Sb₃

1984

101: 117159d Computer simulation of physicochemical properties of rare earth element antimonides as functions of their electron structure in a condensed state. Abulkhaev, V. D.; Kutolin, S. A.; Abdusalyamova, M. N.; Smirnova, E. G. (Novosib. Inst. Inzh. Zheleznodorozhn. Transp., Novosibirsk, USSR). *Zh. Fiz. Khim.* 1984, 58(7), 1715-19 (Russ). The physicochem. properties (d., m.p., Debye temp., thermal expansion coeff., magnetic moment) of Ln₅Sb₃ (Ln = Nd, Sm, Gd, Tb, Dy, Ho) are computer simulated 1st in the electronic structure approxn. of atoms of individual elements and then in the electronic structure approxn. of atoms in the compd. The results agree with exptl. data with a max. error of 10-11%.

(T_m, θθ)

(f5) ~~R~~



C.A. 1984, 101, N 14

Nd 38, $1,001 \pm 0,007$

(dm. 19813)

1984

Биркесмах Г. И., Торогчен-
ко С. Г.,

Материалы
СВ-Бар

2136. АН СССР. Материалы
материала, 1984,
дл, № 9, ● 1441-1444.

1985

*Ln₅Sb₃**Ln = Nd*

24 Б2487. Теплопроводность антимонидов редкоземельных металлов состава Ln₅Sb₃ (Ln—Nd, Sm, Gd, Tb, Dy, Ho). Абдусалымова М. Н., Абулхаев В. Д., Парфеньева Л. С., Смирнов И. А. «Изв. АН ТаджССР. Отд-ние физ.-мат., хим. и геол. н.», 1985, № 1, 80—82 (рез. тадж.)

При т-рах 80—400 К исследованы теплопроводность (κ) образцов Ln₅Sb₃, где Ln=Nd, Sm, Gd, Tb, Dy, Ho, а также уд. электросопротивление ρ . Анализ решеточной и электронной составляющих κ показал, что κ_p в соединениях Ln₅Sb₃, имеющих металлич. характер проводимости, сравнима по абрс. величине с κ_e . Высказано предположение о влиянии на κ исследованных соединений сложной зонной структуры.

Л. А. Д.

*Министерство
образования,
Уральский
технический
университет*

(75)

⊗

X. 1985, 19, № 24.

*BilSb₃, PbSb₃,
DySb₃, HoSb₃*

$\text{Na}_2\text{Si}_2\text{O}_5$

1985

Тюменская Т. А.,
Барсуков В. Б.
Н. Кеоргия Хлебник
1985, № 1677-1680.

(c.c. LaSbO_3 ; I)

NdSbO_3

1985

Торогенская Т. А.,
Варфоломеев М. Б.

металл. ИС. НЕОДРОГИ. ХИМИЧ.,
УСЛОВИЯ. 1985, 30, № 7, 1677-1680.

(см. LaSbO_3 ; I)

NdBi

1986

Борисенко С. П., Вестник
Т. III.

Пересохшее и заме-
рзшее. из архива
Института гидрологических

дл. № 298; 3 Все. конгр., 1986.
Рег. зоны. Т. 2. № 1986, 216-
217.

(см. LaBi; I)

As - Nd

1986

(part. quarp.)

$NdAs$,

$NdAs_2$,

Nd_3As

106: 126768g The As-Nd (arsenic-neodymium) system. Gschneidner, K. A., Jr.; Calderwood, F. W. (Rare-Earth Inf. Cent., Iowa State Univ., Ames, IA 50011 USA). *Bull. Alloy Phase Diagrams* 1986, 7(4), 345-7, 399-400 (Eng). Selection of data are presented for the phase diagram, crystal structure and thermodn. properties of the title system. Three compds. are formed: $NdAs_2$, $NdAs$, and Nd_3As .

C. A. 1987, 106, N 16.

NdBi Буксман Г.И.,
Торгаченко С.Г.

1987

УВССС. РОМОР. № ОРЛЗ. 11

Журнал реэкологич. изыск.

Kp, & Hf, пробог., Могодерпск, 9-11
июня, 1987. Тез. докт. Мого-
дерпск, 1987, 123.

(СССР. La Bi; -)

NdBi' Abdusalyamova M. N.,
Rakhmator O. I., et al. 1988

T_m ; Izv. Akad. Nauk SSSR
Met. 1988, (1), 187-9.

(cav. LaBi; I)

NdAsO₄

1988

1 Б2021. Шеелитовая модификация арсената неодима / Маженов Н. А., Нургалиев Б. З., Мулдахметов К. З. // Изв. АН СССР. Неогран. матер.— 1988.— 24, № 7.— С. 1163—1165.— Рус.

Осуществлены синтез (твердофазным взаимодействием Nd_2O_3 и As_2O_5 при $t=550^\circ\text{C}$ в вакууме), рентгенографич. (метод порошка) и спектроскопич. (спектры ИК и КР) исследования новой модификации NdAsO_4 , для к-рой установлена структура типа шеелита и параметры тетрагон. решетки: $a = 5,102$, $c = 11,59$ Å. Проведена интерпретация спектральных х-к. Предположено, что новая модификация является низкот-рной по сравнению с ранее известной модификацией NdAsO_4 со СТ монацита. С. В. Соболева

X. 1989, N/

NdAsO₄

1988

1 Б2021. Шеелитовая модификация арсената неодима / Маженов Н. А., Нургалиев Б. З., Мулдахметов К. З. // Изв. АН СССР. Неогран. матер.— 1988.— 24, № 7.— С. 1163—1165.— Рус.

Осуществлены синтез (твердофазным взаимодействием Nd_2O_3 и As_2O_5 при т-ре 550°C в вакууме), рентгенографич. (метод порошка) и спектроскопич. (спектры ИК и КР) исследования новой модификации NdAsO_4 , для к-рой установлена структура типа шеелита и параметры тетрагон. решетки: a 5,102, c 11,59 \AA . Проведена интерпретация спектральных х-к. Предположено, что новая модификация является низкот-рной по сравнению с ранее известной модификацией NdAsO_4 со СТ монацита.

С. В. Соболева

Структура

X·1989, N 1

Nd_{8+x} Sb_{19+y}

-1989

9 Б2112. Кристаллическая структура $Nd_{8+x}Sb_{19+y}$. Die Kristallstruktur von $Nd_{8+x}Sb_{19+y}$: [Pap.] Ref. 28. Diskussionstag. Arbeitsgemeinsch. Kristallogr. Dtsch. Mineral. Ges., Dtsch. Phys. Ges. und Ges. Dtsch. Chem., Hanover, 1.—3. März 1989 / Altmeyer R. O., Jeitschko W. // Z. Kynstallogr.— 1989.— 186, № 1—4.— С. 5—6.— Нем.

*Кристалл
структура*

Рентгенографически определена ($R = 0,051$ для 2266 отражений) структура кристаллов $Nd_{8+x}Sb_{19+y}$, синтезированных взаимодействием элементов при т-ре 660° С. Параметры монокл. решетки: $a = 2849,5$, $b = 424,89$, $c = 1349,82$ пм, $\beta = 95,476^\circ$, $Z = 2$, ф. гр. *Ст.* В направлении оси b слои из атомов чередуются в последовательности $NdSbSbSbNdSbSbSb$ ($c'c''c''c''$). Состав кристаллов $Nd_{50}Sb_{120}$ ($Nd_{16,67}Sb_{40}$). С. В. Соболева

X. 1990, № 9

Nd₅Bi₃

1989

112: 106023f The Bi-Nd (bismuth-neodymium) system. Gschneidner, K. A., Jr.; Calderwood, F. W. (Rare-Earth Inf. Cent., Iowa State Univ., Ames, IA 50011 USA). *Bull. Alloy Phase Diagrams* 1989, 10(4a), 444-6, 499-500 (Eng). The Bi-Nd phase diagram was crit. assessed. Crystal structure and heat of formation values are given for Nd₅Bi₃, Nd₄Bi₃, NdBi, NdBi₂ and Nd₂Bi.

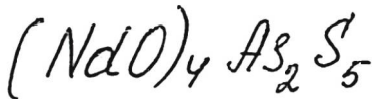
Aff;

C.A. 1990, 112, n12

Nd88 [om. 34859] 1990

(Tm, θ_D) Abdusalyanova et. N.,
Shokirov M. S., et al.,
g. Less-Common Metals,
1990, 166, N2, 221-227.





1993



Панровбергия B.C.,
Городок О.М. и гр.

 T_m

Н.С. Игореван. Химия.

1993. 38, N 8. C. 1416-1417.

(если $(PrO)_4 As_2 S_5$; -)

NdA804

Om. 37737

1994

G

Kacerov D.K., Musatovuk El.,
Orazba A.T. u g.

(298-675k) Neomuricecille name -
meant, 1994, 80, N12,
c. 1598-1599

Bi₃Nd₅O₁₂ 19 Б238. Синтез и кристаллохимическая характеристика фаз типа Bi₃RE₅O₁₂. Synthesis and crystallochemical characterization of the Bi₃RE₅O₁₂-type phases / Horyń R., Wołczyr M., Wojakowski A. // J. Solid State Chem. — 1995. — 116, № 1. — С. 68—71. — Англ.

1995

Получен ряд фаз типа Bi₃³⁺RE₅O₁₂, где RE=Y, La, Pr, Nd, Sm, Eu, Gd, Tb, Dy, Ho, Er, Yb, Lu. Синтез осуществлен на воздухе при 950 °С. Проведен порошковый рентгенографический анализ и РСТА. Приведены значения I, d, hkl для Bi₃Nd₅O₁₂. Параметры решетки получены для различного статистического содержания RE и Bi. У Bi[Y_{1,875}Bi_{0,125}]O_{4,50} а 3,755, с 9,515 Å, ρ (выч.) 6,7, ρ (изм.) 6,74, средняя валентность Y_{Me} 3,00. За исключением Er, Yb, Lu, симметрия ромбоэдрическая. Параметры решеток находятся в интервалах: а 3,755—3,959 Å, с 9,482—9,964 Å. Следы слабых сверхструктурных рефлексов указывают на возможное увеличение элементарных ячеек. Соединения очень устойчивы на воздухе и существуют в сравнительно широком интервале составов.

Н. Л. Смирнова

СЛУЖБА РУД

X. 1996, N 19

$Nd_3 SBO_7$

1995

Касенов Б.К.,
Төзекбайба Р.С. и др.

(998.15-673K)

Железоруд. горюк.
материалы. 1995.
33, № 3. С. 486 - 487.

СР

(см. $La_3 SBO_7$; I)

Nd_3SbO_7

1995

Kasenov B.K., Tezekbaeva, R.J.,
et al.,

(C_p) High Temp. (Transl. of Teplo-
fiz. Vys. Temp.) 1995, 33(3),
483.

(all. La_3SbO_7 ; I)

Nd₃Al₅O₁₂

1996

Таким образом В.С.
Анисов О.Н. и др.,

спикера А. - Несторов. Химии. —
1996, 41, №, С. 1561-1564

(ал. Sm  Al₃Al₅O₁₂; I)

Ndrix

[Om. 40739]

2001

Азимаев Б.Д.,

(Tm) Al. Азимаев. Казань, 2001,
46, N 4, F59 - 662.

NdAs

(OM-40704)

2001

поп.
непреклн

Ichinir Shirotani,
Keigo Yamashiki et al;

J. Phys: Condens. Matter

2001, 13, N 9, 1939-46

NdP

OM. 41279]

2022

KUCCUM
IMP-PA

Denchyna R.O., Chykhrij
et al.,
³¹

Polish J. Chem., 2002,

76, 795-800.